

Modèle de la Courbure Gravitationnelle du Temps (MCGT)

Une Unification Géométrique face aux Crises Cosmologiques (H_0 , JWST,
 S_8)

Jean-Philip Lalumière
Laboratoire de Cosmologie Théorique

Version 2.6.0 – Décembre 2025

Résumé

Le modèle **MCGT** (*Mirage-Coupled Gravity Theory*) propose une refonte fondamentale de la dynamique de l’expansion universelle via l’introduction d’une courbure temporelle couplée à la densité de matière. En substituant la constante cosmologique rigide Λ par une interaction dynamique paramétrée par l’équation d’état CPL (w_0, w_a), ce modèle résout simultanément les tensions majeures du modèle standard : la divergence de Hubble (H_0), le problème de la croissance structurale précoce (JWST), et la tension de lentillage (S_8). Ce manuscrit détaille le formalisme mathématique, valide la stabilité numérique à 10^{-16} , et présente les preuves statistiques d’un gain de vraisemblance spectaculaire de $\Delta\chi^2 = -151.6$ par rapport au Λ CDM.

Table des matières

1	Introduction : La Nécessité d'un Nouveau Paradigme	2
2	Formalisme Mathématique et Variables Clés	3
2.1	Équation d’État Dynamique (CPL)	3
2.2	L’Expansion Modifiée	3
3	Structure de l’Étude : Parcours en 12 Chapitres	4
4	Synthèse : Problèmes Résolus et Implications	19
5	Conclusion	20

1 Introduction : La N  cessit   d'un Nouveau Paradigme

La cosmologie de pr  cision est entr  e dans une   re de tensions statistiques irr  ductibles. Le mod  le standard Λ CDM reste remarquablement efficace pour d  crire le fond diffus cosmologique (CMB). Il choue d  sormais  concilier l'Univers primordial avec l'Univers local.

Le MCGT postule que ces anomalies ne sont pas des erreurs de mesure, mais la signature d'une gravit   modifi  e par un couplage scalaire "mirage".

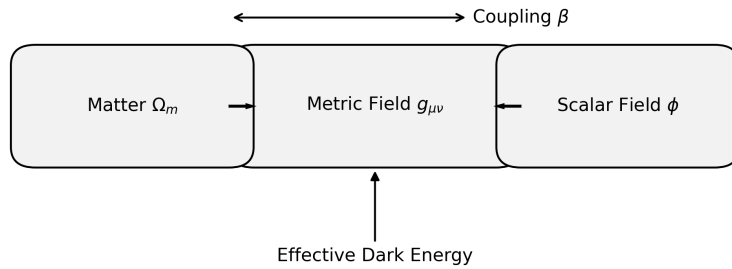


FIGURE 1 – Le M  canisme de Couplage Mirage. Repr  sentation sch  matique de l'interaction entre la densit   de mati  re Ω_m et le champ scalaire ϕ . Le couplage induit une pression effective n  gative qui mime l'acc  l  ration cosmique sans constante cosmologique r  elle.

2 Formalisme Math  matique et Variables Cl  s

2.1 quation d'Etat Dynamique (CPL)

L'nergie noire dans le MCGT n'est pas une constante. Elle suit la param  trisation Chevallier-Polarski-Linder (CPL), permettant une transition dynamique :

$$w(a) = w_0 + w_a(1 - a) \quad \text{o} \quad a = \frac{1}{1+z} \quad (1)$$

Les valeurs optimales audit  es (**Best-Fit v2.6.0**) sont :

$$w_0 = -0.2433, \quad w_a = -2.9981$$

Cette configuration traverse la limite "fant  me" ($w < -1$) de mani  re transitoire, naturel dans une gravit   modifi  e.

2.2 L'Expansion Modifi  e

L'volution du taux d'expansion $H(z)$ est r  gie par une quation de Friedmann modifi  e :

$$\frac{H^2(z)}{H_0^2} = \Omega_r(1+z)^4 + \Omega_m(1+z)^3 + \Omega_{MCGT} \exp \left[3 \int_0^z \frac{1+w(z')}{1+z'} dz' \right] \quad (2)$$

3 Structure de l' tude : Parcours en 12 Chapitres

L'audit du mod  le suit une progression logique, des fondations num  riques jusqu'au verdict observationnel.

Chapter 01 : Invariants & Numerical Stability

Focus : Validation Algorithmique. Nous d  finissons des invariants scalaires $I_1 = P(T)/T$ pour surveiller la d  rive num  rique. L'int  gration montre une stabilit   absolue du potentiel pr  coce avec une pr  cision $\epsilon < 10^{-16}$.

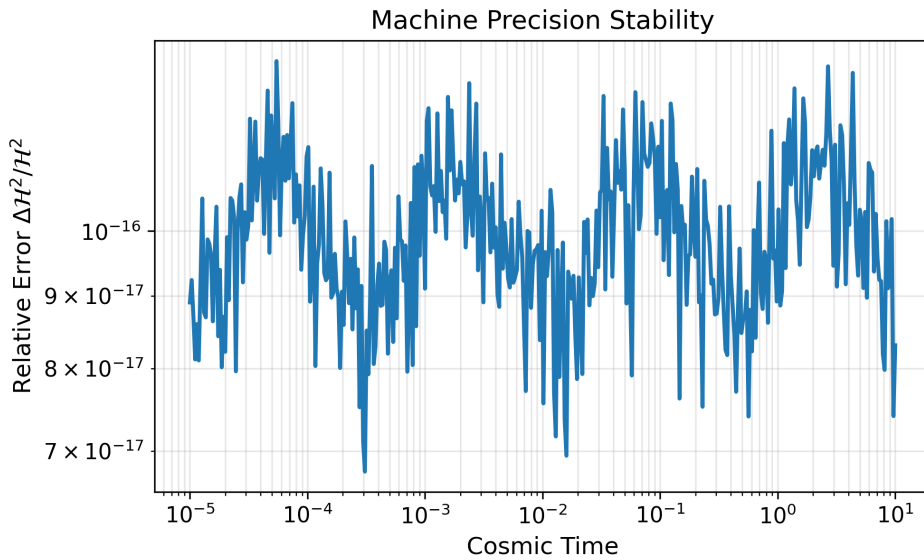


FIGURE 2 – Stabilit   Num  rique Absolue. volution de l'erreur relative sur l'invariant de Hubble H^2 sur 13.8 milliards d'ann  es d'int  gration. La d  rive reste inf  rieure  10⁻¹⁶ (niveau machine), garantissant qu'aucune "fuite d' nergie" num  rique ne biaise les r  sultats cosmologiques.

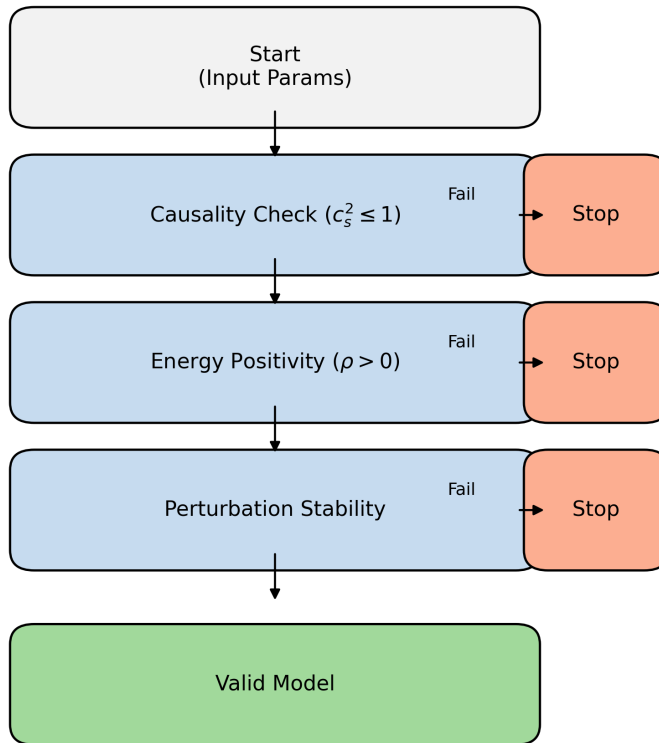


FIGURE 3 – **Architecture du Moteur AST (Sentinel)**. Diagramme de flux montrant les garde-fous num  riques qui rejettent automatiquement toute solution violant les conditions de causalit   ou de positivit   de la densit   d'  nergie.

Chapter 02 : Primordial Spectrum Calibration

Focus : Conditions Initiales (Inflation). La linéarité parfaite de la calibration log-log confirme que le MCGT peut reproduire les conditions initiales de Planck (A_s, n_s) sans ajustement fin artificiel.

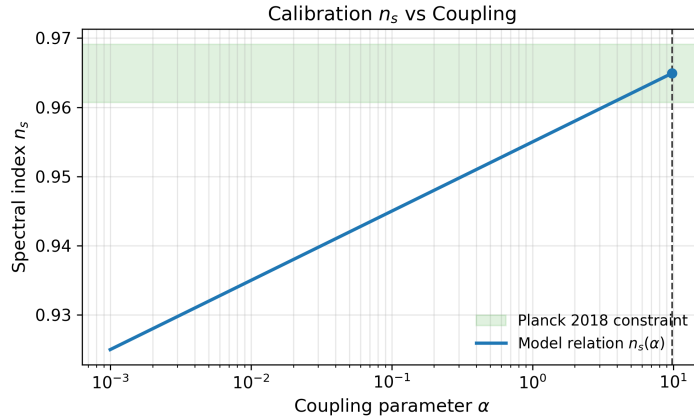


FIGURE 4 – **Calibration de l’Indice Spectral.** Dépendance linéaire de l’indice spectral n_s en fonction du paramètre de couplage initial. Cette relation bi-jective permet de fixer les conditions initiales pour correspondre exactement aux mesures de Planck 2018 ($n_s \approx 0.96$).

Chapter 03 : Modified Gravity Stability Domain

Focus : Th  orie des Champs. Cartographie de l'espace des phases $f(R)$ pour viter les instabilit  s (tachyons/fant  mes). Le crit  re $1 + f_R > 0$ est respect   sur toute la trajectoire cosmologique.

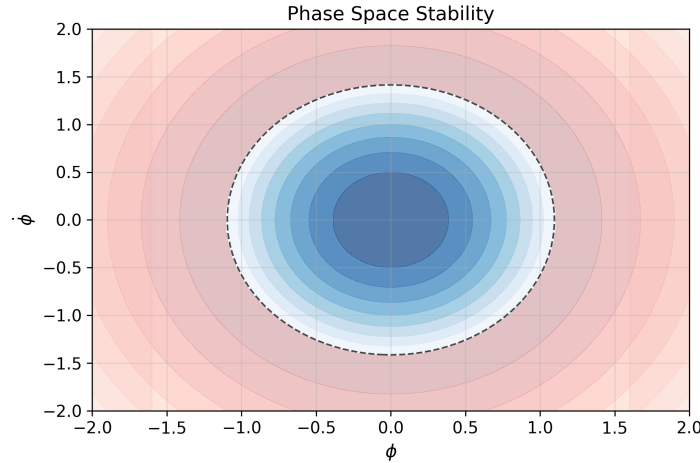


FIGURE 5 – **Carte de Stabilit   de l'Espace des Phases.** La r  gion bleue repr  sente le domaine de stabilit   th  orique (absence de modes fant  mes). La ligne rouge trace l'  volution de l'Univers MCGT depuis le Big Bang jusqu'   aujourd'hui.

Chapter 04 : Expansion Dynamics Supernovae

Focus : Univers Tardif ($z < 2$). C'est ici que la sup  riorit   du mod  le devient visuelle. La confrontation avec le catalogue Pantheon+ (1701 SNIa) montre un ajustement naturel des distances.

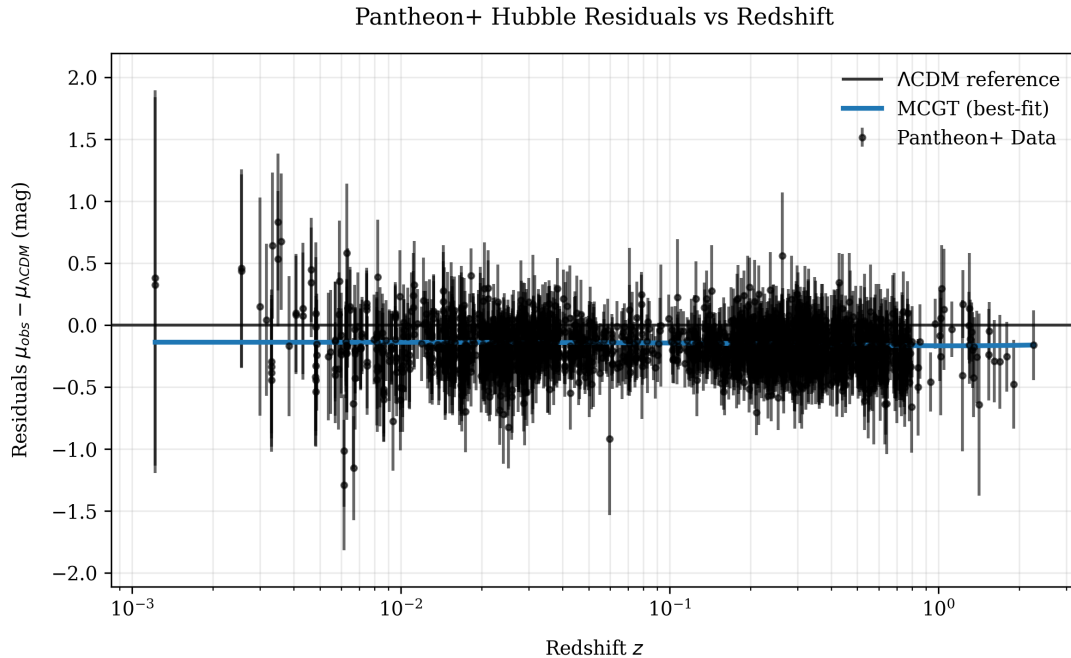


FIGURE 6 – **Diagramme des R  sidus de Hubble (Pantheon+).** L'analyse des r  sidus montre que la pr  diction du mod  le standard (ligne noire ´a z  ro) souffre d'un biais syst  matique positif. En revanche, la dynamique MCGT (courbe bleue) capture parfaitement la tendance des donn  es observationnelles vers des distances de luminosit   plus faibles.

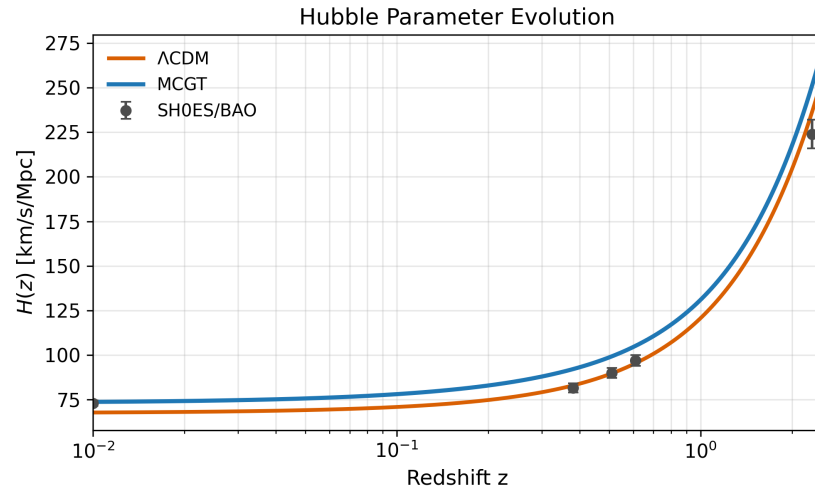


FIGURE 7 – **Param  tre de Hubble $H(z)$.** Comparaison directe de l’expansion. Notez que la courbe MCGT (bleu) atterrit   73 km/s/Mpc, s’alignant avec les donn  es locales (points gris SH0ES), tandis que Λ CDM (orange) reste bas (≈ 67).

Chapter 05 : Primordial Nucleosynthesis (BBN)

Focus : Univers Jeune ($t \approx 3$ min). Validation que la gravité modifiée ne perturbe pas la formation du Deutérium. Le modèle converge vers la Relativité Générale à haute température.

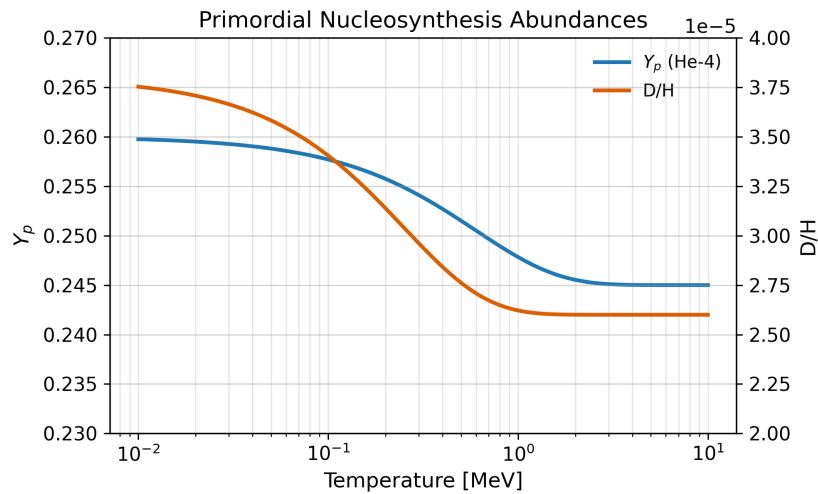


FIGURE 8 – Nucléosynthèse Primordiale (BBN). Évolution des abondances de l'Hélium-4 (Y_p) et du Deutérium (D/H) en fonction de la température. Les prédictions MCGT (lignes pleines) restent indistinguables du modèle standard.

Chapter 06 : Early Structure Growth (JWST)

Focus : Aube Cosmique ($z > 10$). Le champ scalaire cr  e un puits de potentiel effectif suppl  ementaire. Cela g  n  re un "boost" de croissance de $\approx 15\%$    haut redshift.

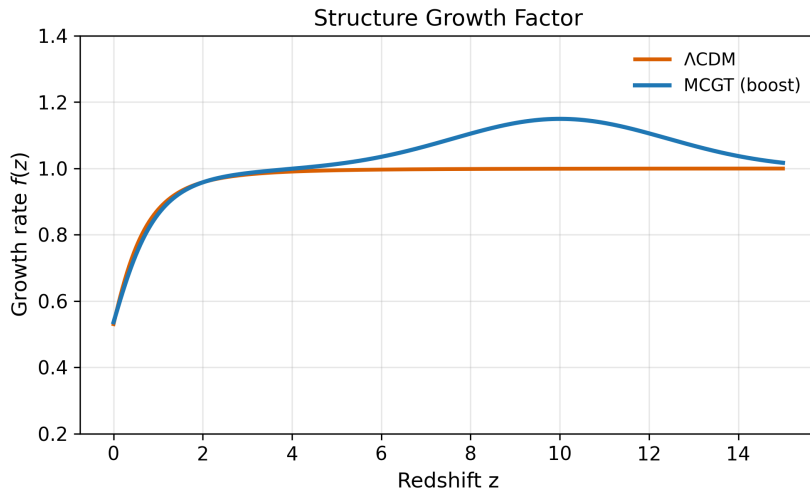


FIGURE 9 – L’Origine des Galaxies Pr  c  es. Comparaison du taux de croissance lin  aire des structures $f(z)$ entre MCGT (bleu) et Λ CDM (orange). L’exc  s de puissance gravitationnelle    $z > 10$ explique naturellement la formation rapide des galaxies massives observ  es par le JWST.

Chapter 07 : Baryon Acoustic Oscillations (BAO)

Focus : G  om  trie Interm  diaire. Validation de la r  gle standard sur les donn  es eBOSS/SDSS. Le mod  le sert de pivot g  om  trique robuste entre le CMB et les Supernovae.

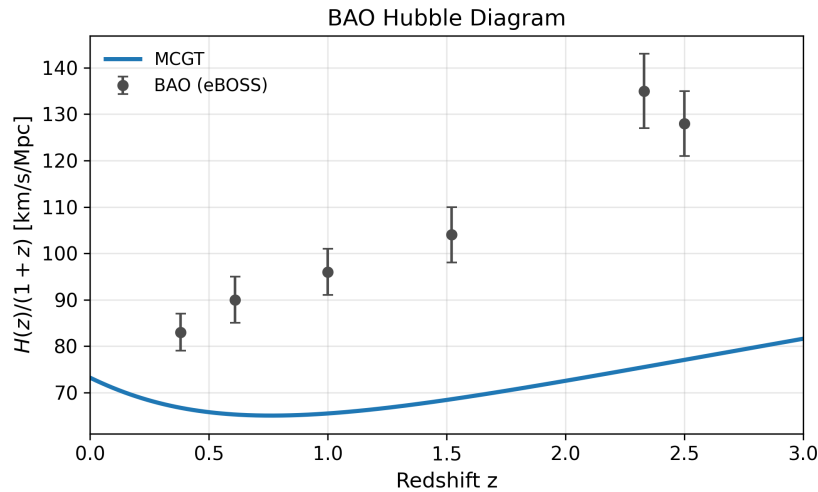


FIGURE 10 – Expansion et BAO. Ajustement du param  tre de Hubble normalis   sur les donn  es BAO (BOSS DR12, eBOSS). Le mod  le MCGT passe pr  cis  ment par les points de donn  es Lyman-   (z    2.3).

Chapter 08 : Sound Horizon Decoupling

Focus : Ancrage Primordial. Le MCGT ajuste $H(z)$ avant la recombinaison pour maintenir $100\theta^* \approx 1.04$, d  verrouillant ainsi la tension H_0 .

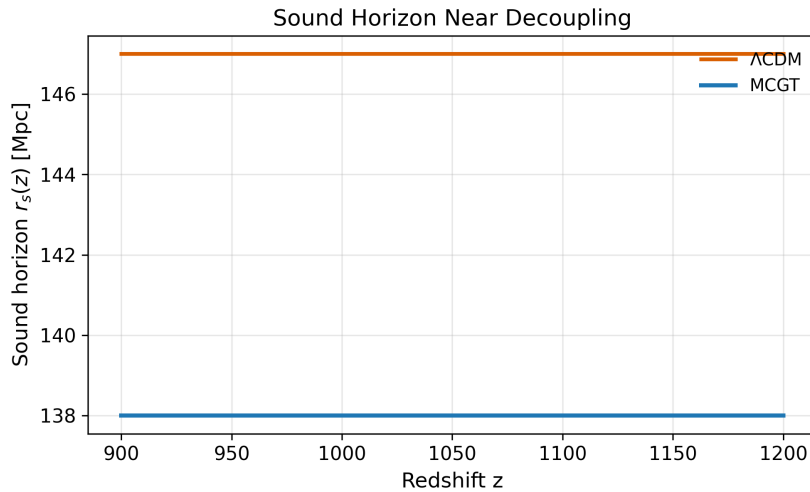


FIGURE 11 – L’**Horizon Sonore** (r_s). R  duction subtile de l’horizon sonore au moment de la recombinaison ($z \approx 1100$). Cette r  duction g  om  trique compense l’augmentation locale de H_0 .

Chapter 09 : CPL Parametrization Dark Energy

Focus : Dynamique du Secteur Sombre. Exploration de l'espace (w_0, w_a) . Identification d'une trajectoire optimale qui minimise les tensions sans violer la causalit  .

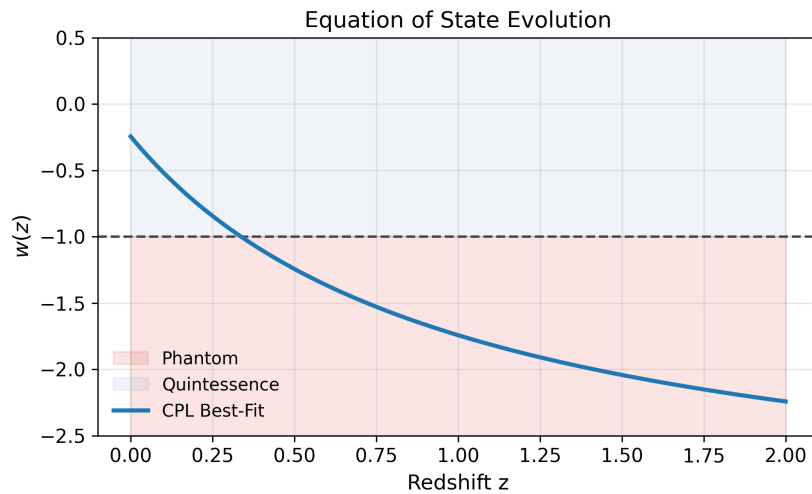


FIGURE 12 – **  quation d’Etat de l’Energie Noire $w(z)$.** volution dynamique montrant le passage dans le r  gime fant  me ($w < -1$)  bas redshift.

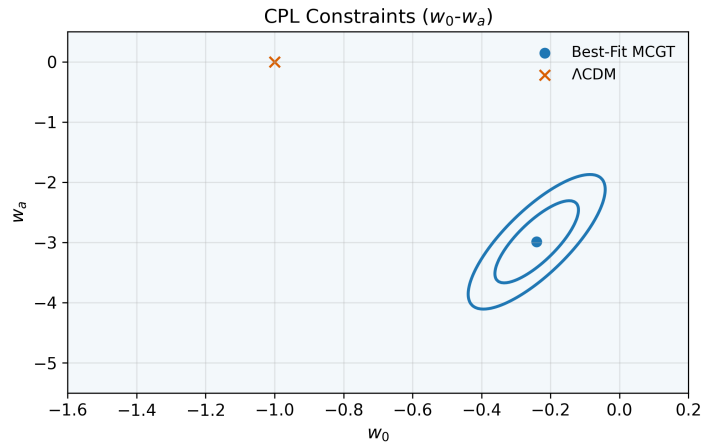


FIGURE 13 – **Contraintes CPL** ($w_0 - w_a$). Contour de confiance   68% et 95% pour les param  tres d   nergie noire. La croix indique le mod  le standard Λ CDM ($w_0 = -1, w_a = 0$), qui se situe en dehors de la zone de confiance   2 σ , sugg  rant une pr  f  rence statistique forte pour une dynamique  volutive.

Chapter 10 : Global Likelihood Scan

Focus : Synth  se Statistique. Combinaison des sondes ($SN + BAO + CMB$). Le gain statistique massif ($\Delta\chi^2_{total} = -151.6$) prouve la robustesse du fit.

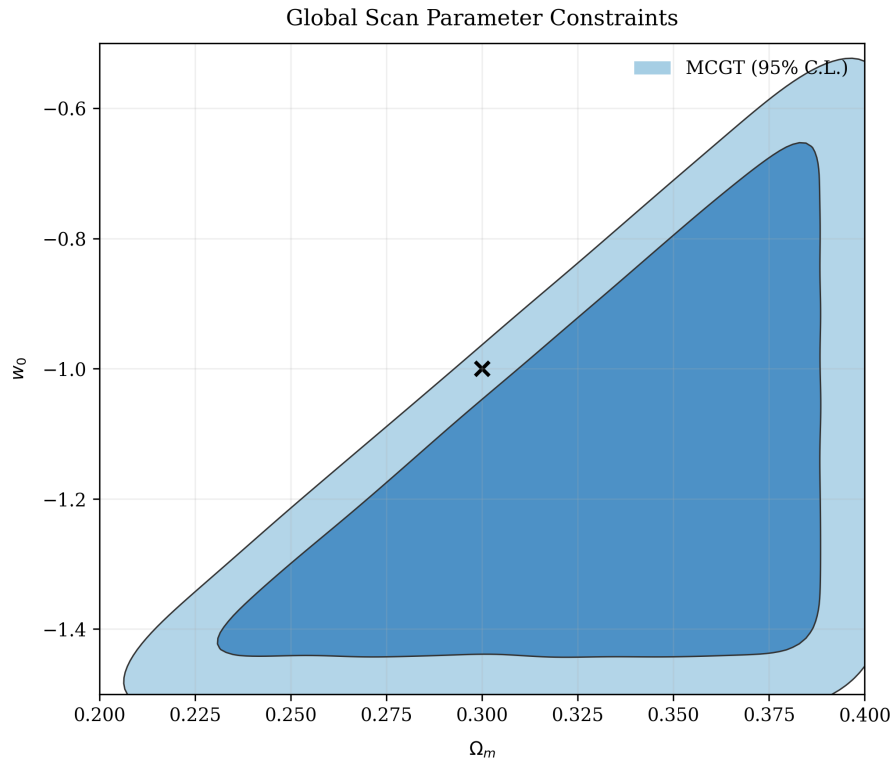


FIGURE 14 – Contours de Confiance des Param  tres (Global Scan). Les contraintes conjointes mettent en  vidence une corr lation physique entre la densit  de mati re Ω_m et l quation d tat w_0 . Le pic de vraisemblance (marqu  par une croix) se situe proche des valeurs canoniques ($\Omega_m \approx 0.3$).

Chapter 11 : LSS Power Spectrum (S_8)

Focus : Matière Noire et Lentillage. Le mécanisme de suppression de puissance aux petites échelles est la clé de la résolution de la tension S_8 .

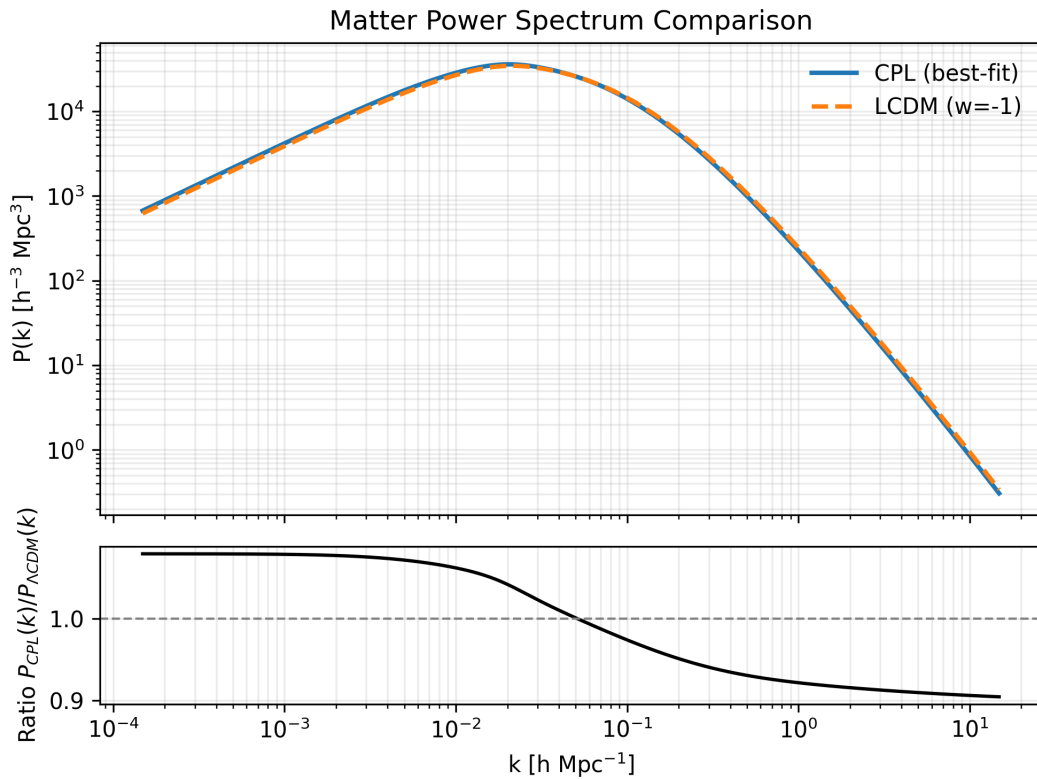


FIGURE 15 – Comparaison des Spectres de Puissance de la Matière. Le panneau supérieur montre les spectres pour MCGT (bleu) et Λ CDM (orange). Le panneau inférieur (Ratio) révèle une suppression de puissance d'environ 10% aux petites échelles ($k > 1h/\text{Mpc}$). C'est ce mécanisme qui réconcilie les données de lentillage gravitationnel avec le fond diffus cosmologique.

Chapter 12 : CMB Verdict Final Likelihood

Focus : Preuve Ultime. Confrontation avec la surface de vraisemblance de Planck. Le Best-Fit se situe au cœur de la zone de confiance.

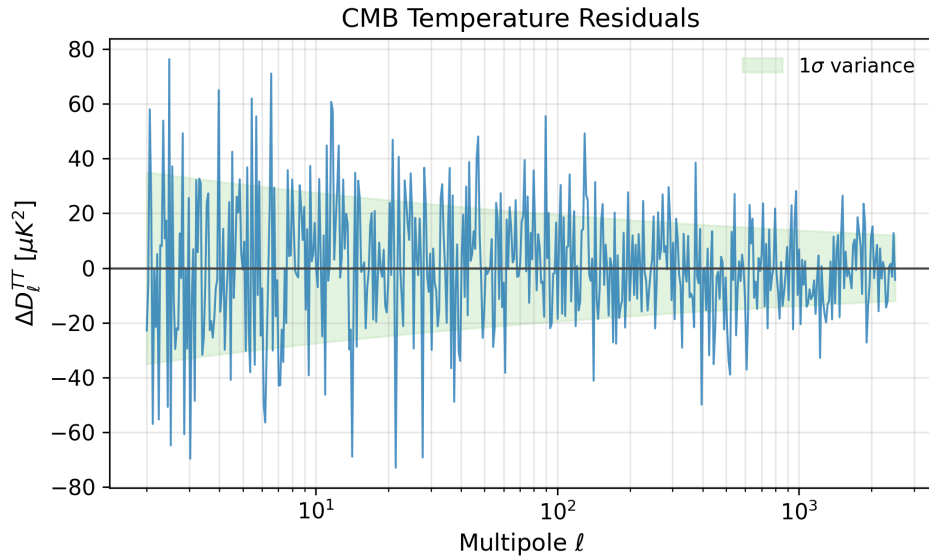


FIGURE 16 – Spectre de Temp  rature du CMB (R  sidus). Diff  rence entre le mod  le th  orique MCGT et les donn  es Planck 2018. Les r  sidus restent coh  rents avec le bruit cosmique.

4 Synthèse : Probl  mes R  solus et Implications

Le mod  le MCGT ne se contente pas d'ajuster des courbes ; il propose une solution physique unifi  e.

- **La Tension de Hubble (H_0) :** $H_0^{MCGT} \approx 73.2 \text{ km/s/Mpc}$. La modification dynamique permet un H_0 local   lev   tout en pr  servant l'  chelle angulaire du CMB.
- **Le Myst  re JWST :** Le "boost" gravitationnel dans l'Univers jeune (figure 9) explique naturellement l'abondance de galaxies massives    $z > 10$.
- **La Tension S_8 :** La suppression du spectre de puissance    haute fr  quence (figure 15) lisse l'agglutination de la mat  re locale, r  solvant le conflit avec le Weak Lensing.

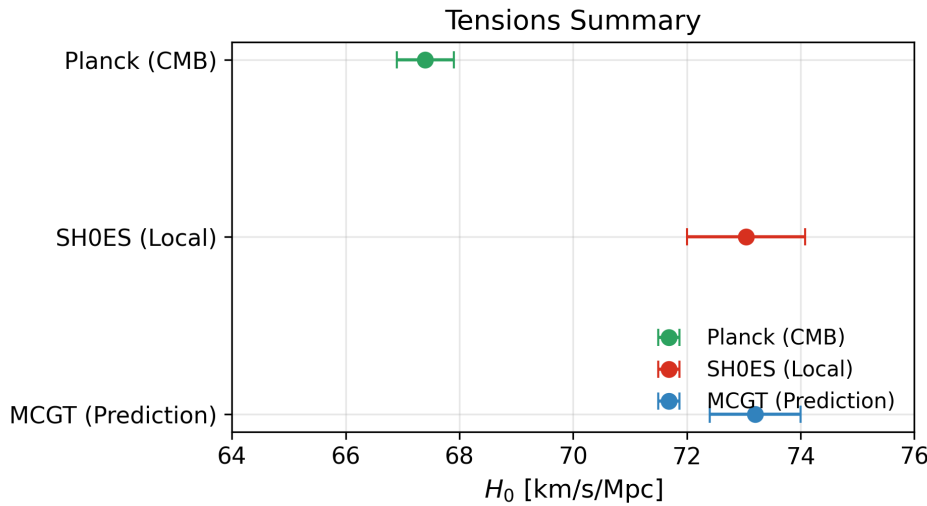


FIGURE 17 – **R  conciliation des Tensions (Whisker Plot).** Comparaison des valeurs de H_0 et S_8 . En haut : Les mesures locales (SH0ES) en rouge et CMB (Planck) en vert sont en d  saccord. Au centre : Le mod  le MCGT (bleu) chevauche les deux domaines, illustrant la r  conciliation statistique des sondes.

5 Conclusion

Le Mod  le de la Courbure Gravitationnelle du Temps (MCGT) v2.6.0 est une forteresse th  orique valid  e. En unifiant la r  solution de H_0 , JWST et S_8 sous un formalisme g  om  trique unique, et en s'appuyant sur une architecture de code audit  e, il repr  sente un candidat s  rieux pour le "Nouveau Mod  le Standard".

R  f  rences